

Esercizi da "Note di Antenne" (dispense Orso)

si progetti una tromba in banda Ku (12-18 GHz), $G = 20$ dB e 15 GHz, lobo principale simmetrico

Svolgimento

Osservazione: non siamo interessati ad aver un particolare angolo di apertura; quindi, possiamo usare la tromba ottima.

Dagli appunti: (2.100)

$$G = 10 \left(0,808 + \log_{10} \frac{ab}{\lambda^2} \right) \Rightarrow ab = 15,56 \lambda^2$$

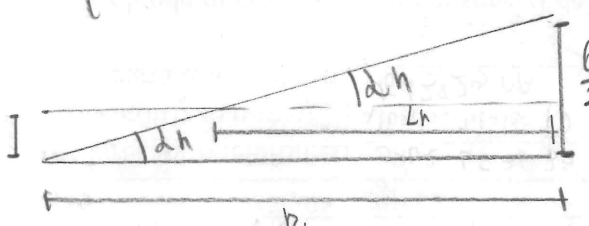
Per angolo simmetrico a -3 dB, vedi p. 48, $\frac{a}{b} = \frac{4}{3}$

$$\begin{cases} ab = 15,56 \lambda^2 \\ \frac{a}{b} = \frac{4}{3} \end{cases} \Rightarrow a = \frac{4}{3}b \Rightarrow \frac{4}{3}b^2 = 15,56 \lambda^2 \Rightarrow b = 3,416 \lambda; a = 4,555 \lambda$$

$$\begin{cases} a = 9,1 \text{ cm} \\ b = 6,8 \text{ cm} \end{cases}$$

Proseguiamo: in banda Ku si usa la WR62; $0,622 \times 0,311$

$$\begin{cases} a' = 15,8 \text{ mm} \\ b' = 7,899 \text{ mm} \end{cases} \text{ poi, so da, per la tromba ottima, } \begin{cases} a = \sqrt{3\lambda L_h} \\ l = \sqrt{2\lambda l_e} \end{cases}; \begin{cases} S = \frac{b^2}{8\lambda l_e} = \frac{1}{4} \\ t = \frac{a^2}{8\lambda L_h} = \frac{3}{8} \end{cases}$$



$$\tan(\alpha) = \frac{a/2}{R_h} = \frac{a/2 - a'/2}{L_h}$$

$$\Rightarrow L_h = R_h \frac{a/2 - a'/2}{a/2}$$

$$L_h^2 = \left(\frac{a/2}{2} \right)^2 + R_h^2; a = \sqrt{3\lambda L_h} \Rightarrow L_h = \frac{a^2}{3\lambda} = 13,83 \text{ cm}$$

$$\Rightarrow R_h = 13,1 \text{ cm}; L_h = 10,8 \text{ cm}$$

Alla stessa modo per il piano E:

$$l_e = \frac{b^2}{2\lambda} = 11,67 \text{ cm}; R_e = l_e - \left(\frac{b}{2} \right)^2 = 111,6 \text{ mm}; L_e = R_e \left(1 - \frac{b'/2}{b/2} \right) = 9,86 \text{ cm}$$

Valuto i guadagni in banda:

$$G = \frac{4\pi}{\lambda^2} A_{eq} \Rightarrow G_{dB} = 10 \left(0,808 + \log_{10} \frac{ab}{\lambda^2} \right) \Rightarrow$$

- ⊙ 12 GHz, $G = 18,06$ dB
- ⊙ 18 GHz, $G = 21,57$ dB

Riflettore parabolico con $f/D = 0,15$, $t = 14$ dB

È noto che (2.218)

$$L \rightarrow r = 2f \tan\left(\frac{\theta}{2}\right) \Rightarrow \frac{D}{2} = 2f \tan\left(\frac{\theta_m}{2}\right) \Rightarrow \theta_m = 2 \arctan\left(\frac{D}{4f}\right) = 53,13^\circ$$

Posso dunque calcolare, dei 14 dB, quanti sono di att. spaziale!

$$ds/dB = -40 \log \cos \frac{\theta_m}{2} = 1,938 \text{ dB}$$

$$L \rightarrow \text{l'att. del feed deve esser pari a: } df = t - ds = \underline{12,1 \text{ dB}}$$

Da qui: si deve far in modo che, per $\theta = 53,13^\circ$, $df = 12,1$ dB; questo permette di determinare l'angolo a 10 dB del feed, e quindi di progettare il feed.

$$df/dB = 10 \left(\frac{\theta}{\theta_{10dB}}\right)^2$$

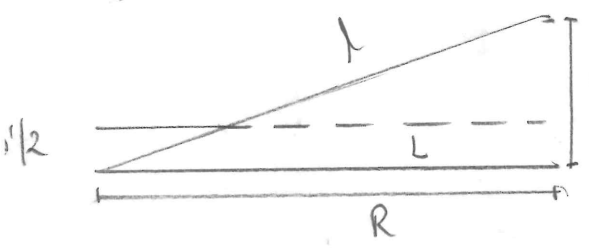
$$\Rightarrow \theta_{10dB} = 48,3^\circ$$

Voglio usare un corrugated horn come feed

Ipotesi banda Ku, dunque [12-18] GHz;

Dalla circolare,

$$u = \frac{2\pi}{\lambda} a \sin \theta, \quad "a" \text{ raggio dell'apertura.}$$



$t = \frac{a^2}{2\lambda l}$; $\theta_{10dB} = 48,3^\circ$
L \rightarrow da figura 2.39, $u \approx 4$
 $t = 0,125$ o $0,25$ (compra poi)
si può anche (in alternativa) usare Fig(2.60)

$$\rightarrow @ f = 15 \text{ GHz}, \lambda = \frac{3 \times 10^8}{15 \times 10^9} = 2 \text{ cm}; \rightarrow a = 17,05 \text{ mm.}$$

Con la scelta asinomica,

$$L = R \left(1 - \frac{a^2/4}{a^2}\right) \quad a/2 \text{ quella della WR62} \Rightarrow l \Rightarrow 0,125 = \frac{a^2}{2\lambda l} \rightarrow l = 58,1 \text{ mm};$$

R noto da (2.40)

In realtà, potrei usare 0,25 come t.

$$\text{forzo } d/L \approx 0,224 \quad (a/R) \rightarrow \frac{a}{R} = 0,224; \Rightarrow R = 76,13 \text{ mm};$$

trovo L, e quindi l. Poi dimensioni i centimetri

Alternativa a cui: noto t, usare $t = \frac{a^2}{2\lambda l}$ (suggerito)

Calcolo della sezione radar di una sfera metallica

Dalla 2.289:

$$\frac{P_r}{P_t} = G^2(\vartheta) \frac{\sigma(\vartheta) \lambda^2}{(4\pi)^3 R^4}$$

• σ costante: no (ϑ)

Si devono soddisfare alcune ipotesi: • potenza scattata isotropica

Il campo (in modulo) incidente sulla sfera si può calcolare a partire dalla densità di potenza:

$$S_{inc} = |E_{inc}| = \frac{P_t G_t}{4\pi R^2} = Y_0 |E|^2 \Rightarrow E_{inc} = \sqrt{\frac{Z_0}{4\pi}} \frac{\sqrt{G_t P_t}}{R}$$

Essendo la sfera PEC, $E_r = -E_{inc}$

Posso applicare il modello di ottica geometrica:

$$\frac{1}{g_r} = \frac{1}{g_i} + \frac{2}{g_s \cos \vartheta_i}$$

dove:

$g_i = g$ incidenza; se l'onda arriva da grande distanza della sfera, tutto omogeneo, i raggi sono circa piatti, dunque

i raggi della circonferenza osculante ∞ : $g_i^{-1} = \infty$

$\vartheta_i = \pi/2$: incide normalmente

$$\hookrightarrow \frac{1}{g_r} = \frac{1}{g_s}$$

g_r è il raggio della circonferenza osculante del raggio riflesso; g_s è il raggio della sfera fisica metallica.

Poi, si ha: $|E(r)| = |E(s)| \sqrt{\frac{g_1 g_2}{(g_1 + s)(g_2 + s)}} = \sqrt{\frac{g_s g_r}{2R}} |E_{inc}|$

$$\hookrightarrow |E_r| = \underbrace{\sqrt{\frac{Z_0}{4\pi}}}_{5.5} \frac{\sqrt{G_t P_t}}{R} \frac{g_s g_r}{2R} |E_{inc}|$$

Si usa l'equivalenza tra P_{rx} come ricavata dall'eq. del radar, e "più classica":

$$P_{rx} = \frac{|E_r|^2}{Z_0} A_{eq} = \frac{|E_r|^2 \lambda^2}{Z_0 4\pi} G_T = \dots = G_r G_t \frac{\pi^2 \lambda^2}{(4\pi)^3 R^4} =$$

$$\rightarrow \sigma_{sphere} = \pi g_{sphere}^2$$

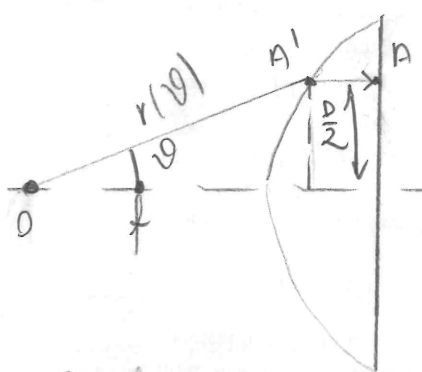
Si progetti una lente con guadagno di 30 dB alla frequenza di 10 GHz, disponendo di $\epsilon_r = 2,25$ ($n = \sqrt{2,25} = 1,5$), Asintoto dell'iperbole $\vartheta_0 = 48,2^\circ$, $V = 0,5$ (ventosemi);
 Ho che:

$$G = \frac{4\pi}{\lambda^2} A_{eq} = \frac{4\pi}{\lambda^2} \left(\frac{D}{2}\right)^2 \pi \times V \Rightarrow D = 42,7 \text{ cm}$$

questa, supponendo circolo l'area della apertura di usata!
suppongo $V = 0,5$ (?)

$$n \cos \vartheta - 1 = \phi \quad \text{per } \vartheta = 48,2^\circ \quad (n = 1,5)$$

Ho bisogno di determinare f ; stiamo ipotizzando di avere un'antenna con superficie di ingresso iperbolica, di usata piana.



Dopo conoscere / fissare "n", il lobo dell'illuminatore e il tapering ai bordi.
Uso per ipotesi un feed con $\vartheta_{-10dB} = 35^\circ$ e uso ϑ della lente = 30°

La formula di progetto della lente (2.297) è:

$$r = \frac{f(n-1)}{n \cos \vartheta - 1} \Rightarrow \text{dato } r(\vartheta) = \frac{D}{2} \times \frac{1}{\sin|\vartheta_m|} \quad (\text{si vede dalla costruzione geometrica})$$

$$\hookrightarrow f = r \frac{n \cos \vartheta - 1}{n-1} = \frac{D}{2 \sin \vartheta_m} \frac{n \cos \vartheta_m - 1}{n-1} = 25,6 \text{ cm}$$

Da qui, trovo che il "r" per cui lo spessore della lente è "nullo", il bordo;

$$r = \frac{f(n-1)}{n \cos \vartheta - 1} = \frac{0,255 \cdot |1,5-1|}{1,5 \cos(30) - 1} = 0,427; \quad \text{dentro} + f = r \cos \vartheta = 0,369$$

$$\hookrightarrow \text{dentro} = 0,369 - 0,255 = \underline{11,4 \text{ cm}}$$

si studi l'antenna verticale top-loading alla frequenza di 2 MHz; i dati sono: $h_{antenna} = 4m$; $r_{filo} = 1cm$; $r_{disco} = 1.5m$

Prima di tutto, studiamo il corno capacitivo: dalle 3.10 e 3.11 (equazioni)

$$C = \epsilon \frac{A}{h} ; \quad \epsilon = 8,854 \times 10^{-12} \text{ F/m} ;$$

$$A, \text{ supponendo disco circolare, } A = \pi r_{disco}^2$$

$$= 15,6 \text{ pF} ; \quad h = 4m ;$$

$$C_0 = 8 \epsilon r_{disco} = 106 \text{ pF} \implies C_{tot} = C_0 + C = 121,6 \text{ pF} ;$$

Dobbiamo trattare il sistema, al fine di fare un'analisi, con una linea di trasmissione (biconica); lo Z_0 sarà:

$$Z_{0d} = 120 \left[\ln\left(\frac{2l}{a}\right) - 1 \right] \Omega \quad \text{dove } l = h_{disco}, \quad a = r_{filo}$$

$$\hookrightarrow Z_{0d} = 682 \Omega$$

Ma l'antenna è un monopolo, poiché connesso a massa; si ha, dunque, metà di Z_{0d} , essendo un monopolo:

$$Z_0 = \frac{Z_{0d}}{2} = 341 \Omega$$

L'obiettivo ora è trovare Z_{in} ; per far ciò, troviamo la lunghezza equivalente ottenuta da questo corno capacitivo: dalla eq. (3.9),

$$b = \frac{\lambda}{2\pi} \arctan(\omega C_1 Z_0) = \frac{150m}{2\pi} \arctan(2\pi \times 2MHz \times 121,6 \text{ pF} \times 341 \Omega) \approx 11,3 \text{ m}$$

In lunghezze elettriche,

$$\frac{b}{\lambda} = 76,45 \times 10^{-3} \text{ (da appunto Grafico, } d \approx 0,0767\lambda)$$

Ors: per "t" (vedi figure 3.5 e 3.6) si intende la lunghezza di linea equivalente fatta con la capatò; $t/h = 11,5/4 = 2,875$; $300h/\lambda \approx 9,6$;

$$\hookrightarrow R_{in} \text{ (da grafico 3.6)} \approx 29 \Omega$$

$$l = 4 + 11,5m = 15,5m ; \text{ dalla eq. (3.9), usata con } b = 11,5m$$

$$\rightarrow Z = 496 \Omega \text{ (uso 4.69)} ; \quad \frac{1}{\omega C} = Z = \omega L \implies \frac{Z}{\omega} = L = 35,7 \mu H$$

questo è il valore dello L "di accordo".

Si progetti un dipolo risonante in banda 95-105 MHz, con ROS 1.4 rispetto a 70Ω.

H0: $\Gamma = \frac{\zeta-1}{\zeta+1}$, dove $\zeta \approx L+jX$; $\rightarrow \Gamma \approx \frac{jX}{2+jX} \approx \frac{jX}{2}$; $|\Gamma| = \frac{|X|}{2}$

Dalla cds, voce "SWR", si vede quanto vale $SWR=1.4$ ed infatti, si riporta sul piano orizzontale della cds e vediamo che $\zeta \in [0.7 \div 1.4] (IR)$ e che $|X| \leq 0.35$ circa (ripetendo il ROS sulle ordinate);

$\hookrightarrow |X| \leq 25\Omega$; $|R| \in [50 \div 100] \Omega$. (valori denormalizzati a 70Ω).

Dalla figura 3.10, si vede che, a 50Ω o 100Ω, non si han grossi problemi: per qualunque snellezza si va bene, si han valori circa uguali di R_{irr}.

Cerchiamo un valore ragionevole di snellezza per contenere la variazione di reattanza: come noto, dalla equazione (3.12),

$Z_i = R(kl) - j \left\{ 120 \left[\ln\left(\frac{2l}{a}\right) - 1 \right] \cotg(kl) - X(kl) \right\}$

trascuro $X(kl)$, e suppongo di esser prossimo alla risonanza; trascuro $X(kl)$ e "semplifico" $R(kl)$. La formula è: $\pm 5\%$

$\hookrightarrow X \approx -120 \left[\ln\left(\frac{2l}{a}\right) - 1 \right] \cotg(kl)$ suppongo di considerare una variazione del 10%: $\pm 5\%$ $\pm 10\%$

L'equazione diventa: (per un intorno di $l = \frac{\lambda}{4}$, con errore del $\pm 5\%$):

$25\Omega = -120 Z_{00} \cotg\left(\frac{2\pi}{\lambda} \frac{\lambda}{4} (1+0.05)\right)$

Risolve con la calcolatrice, e trovo $Z_{00} \approx 317.7\Omega \approx 320\Omega$;

$\hookrightarrow 320\Omega = 120 \left[\ln\left(\frac{2l}{a}\right) - 1 \right] \rightarrow$ con la calcolatrice, $\frac{2l}{a} \approx 4.0$.

Risolvendo mediante calcolatrice l'equazione

$\hookrightarrow 120 \left[\ln\left(\frac{2l}{a}\right) - 1 \right] \cotg(kl) = X(kl)$,

se $X(kl) = 25\Omega$, $kl = 1.493$

$l_{braccio} \approx 0.232\lambda \rightarrow l_{TOT} = 2 \times \lambda \times 0.232 =$
 $@ 100 MHz, \lambda = 3m \quad \quad \quad = 1.392m$

debbi: quest'altra formula, e per il fatto che ho usato il 5%
controllo: non è che devo fare la tabellina, come in dove???
come fare? :-)

Analisi di due antenne Yagi-Uda a 2 elementi.

Dato una Yagi-Uda a 75 MHz, studiarne il comportamento nel caso il secondo elemento sia:

- un riflettore
- un direttore

Per $f = 75 \text{ MHz}$, $\lambda = 4 \text{ m}$; $\lambda/2 = 2 \text{ m}$; ipotesi $d = 2 \text{ cm}$ (diametro elementi).

→ dalla (3.12) (eq), $120 \left[\ln \left| \frac{2l}{a} \right| - 1 \right] = X(kl)$, dove $X(kl)$ è tabulato in Fig (3.9).

→ ipotesi valori di kl : faccio una tabella. Prima, $\frac{2l}{a} = \frac{2 \times 2 \text{ m}}{2 \text{ cm}} = 100$ (Non son sicuro)

→ $120 \times \left[\ln(100) - 1 \right] = 432,6$

devo trovare un kl per cui:

$\frac{432,6 \text{ (da Fig)}}{120} = X(kl)$

DX	SX	kl	
25Ω	$1,513$	$1,2$	NO
32Ω	$1,497$	$1,4$	NO
35Ω	$1,49$	$1,49$	OK

$\frac{2\pi}{\lambda} l = 1,49 \rightarrow l_{braccio} = \frac{1,49}{2\pi} \approx 0,1236$
 → $l_{tot} = 2 l_{braccio} = 0,2477 \lambda$ (472 a me)

Da Fig (3.9), vedo che, per $kl \approx 1,5$, $R_{irr} \approx 64 \Omega$.

ipotesi $Z_{11} = R_{irr}$; (elemento alimentato alla risonanza).

ipotesi di avere un riflettore con $l_{tot} = 0,5 \lambda$

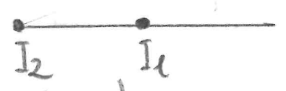
→ $l_{braccio} = \frac{\lambda}{4}$; $kl = 1,57$; da Fig (3.9), $\begin{cases} R = 73 \\ X = +j62 \end{cases}$

ipotesi i due distanti $0,2 \lambda$; da grafico 3.22, $Z_{12} = (50 - j30) \Omega$



Recuperiamo le eq. (3.90):

→ $\frac{I_2}{I_1} = - \frac{Z_{21}}{Z_{22}} = [\text{con calcolatore}] = 0,692 \exp(j 119^\circ)$



Dalla eq. (3.91), ho: $A(\vartheta) = 1 + \frac{I_1}{I_2} \exp(jkd \cos \vartheta)$ (lettore di schiera)

→ per $\vartheta = 0$ (direzione backfire), $A(0) = 0,692 \exp(j2,077) \exp(j \frac{72 \pi}{180}) + 1 = 0,346 \exp(-j 3912)$

per $\vartheta = \pi$, $A(\pi) = 0,692 \exp(j2,077) \exp(j \frac{72 \pi}{180} \cos(\pi)) + 1 = 1,557 \exp(0,3313)$
(dir. end fire) FAR I CONTI AL DIRETTORE!

si progetti una log-periodica con $G=10$ dB e banda da 150 a 300 MHz. (X8)

Imp. di ingresso nominale a 50Ω .

Prima di tutto da Fig (3.46) (sx), vedo che, per $G=10$ dB, $B=295$;
dallo stesso grafico, $2\alpha = 23^\circ \Rightarrow \alpha = 11,5^\circ$

Posso ricavare: $B_0 = 1,195$, quindi, dalle 3.99,
da Fig(3.47)

$$\hookrightarrow \sigma = \frac{1}{L} (L - B) \cotg(\alpha) = 0,063;$$

dalle 3.101

$$\hookrightarrow N = \left\lceil L + \frac{\log_{10} \left(\frac{f_{\max}}{B_0 f_{\min}} \right)}{\log_{10}(B)} \right\rceil = \lceil 17,07 \rceil = 18.$$

Il dipolo piú lungo sar :

$$\frac{\lambda_{\max}}{4} = \frac{c/f_{\min}}{4} = \frac{2}{L} = 0,5 \text{ m.} \quad \frac{\lambda_{\min}}{4} (\text{con } B_0) = 0,299 \text{ m.}$$

Scelgo 6mm di diametro per il piú corto, 1,5cm per il piú lungo; $1,5 \text{ cm} \times B^{17} \approx 6 \text{ mm}$

$\hookrightarrow Z_{in}$   calcolabile con la eq. (3.103)

$$\hookrightarrow a = 7,5 \text{ mm} \Rightarrow \frac{l}{a} = 66,66 \approx 67$$

$$\hookrightarrow 120 [\ln(67) - 2,25] \approx 234 \Omega.$$

$$\frac{R_0}{Z_0} = 0,64 \rightarrow Z_0 = \text{imp. bifilare} \approx \frac{50 \Omega}{0,64} \approx 80 \Omega.$$

$$\hookrightarrow \text{dalle (3.102), } Z_{ob} = \frac{Z_0}{\pi} \text{sech} \left(\frac{s}{D} \right)$$

Si progetta un'elica risonante a 1500 kHz

Perché un'elica? Beh, 1500 kHz = 1.5 MHz; $\lambda = \frac{3 \times 10^8}{1.5 \times 10^6} = 200 \text{ m}$. $\lambda / L = 50 \text{ m!}$
troppo!

Seguendo il progetto, assumo $D = 20 \text{ cm}$, $h = 10 \text{ cm}$

L'ellisse di polarizzazione ha

$$R_{\text{dB}} = 20 \log_{10} \left(\frac{2h\lambda}{\pi D^2} \right) = 40,11 \text{ dB} \quad (\text{polarizzazione} \approx \text{verticale})$$

Dato $N = \frac{L}{h} = 10, \rightarrow \frac{ND^2}{\lambda} = 2 \times 10^{-3}$

Dal grafico 3.53, $M = 0,01$

\hookrightarrow dalla eq. (3.107), $\left(\frac{C}{V_2} \right)^2 = 1 + \left(\frac{M\lambda}{\pi D} \right)^2 \rightarrow \frac{C}{V_2} = 3,336$

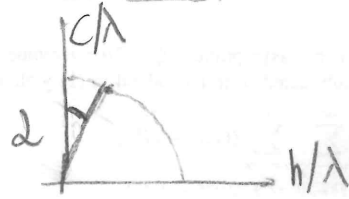
Questo vuol dire che l'antenna, invece che 50 m, è alle 14,99 (da $\frac{50}{3,336}$)

Progettare un'elica in modo assiale con frequenza centrale di 150 MHz e

G = 13 dB.

Si ricorda che, per progettare un'elica in modo assiale, è necessario soddisfare le seguenti richieste:

- circonferenza lunga circa λ ;
- $\alpha \approx (10 \div 30)^\circ$



A 150 MHz, $\lambda = 2m$; dal momento che la lunghezza della circonferenza noto il diametro D è πD , $\frac{C}{\pi} = D = 0,637m$. Scegli $12,5^\circ$ come angolo di inclinazione α .

Dalla Fig (3.6), usando la curva per $C = \lambda$, cercando sull'asse verticale 13 dB, si vede che, tirando giù la riga, servono 5,5 spire circa: approssimo all'intero superiore) e ne uso 6.

Da considerazioni sul piano (h, C) , prima riportato, posso determinare h come:

$h = \frac{C}{\cos \alpha} \times \sin \alpha = C \tan \alpha \implies h = 2m \times \tan(12,5) = 0,443m$

h è la distanza tra una spira e l'altra; volendo la lunghezza totale,

$L = N \times h = 6 \times 0,443m = 2,66m$.

Dalla eq. 3.113,

$R = 20 \log_{10} \left(\frac{2 \times 6 + 1}{2 \times 6} \right) \approx 0,7 dB$

la polarizzazione dovrebbe essere circolare.

Volendo stimare il guadagno al variare della frequenza, basta prendere il punto di prima sulle curve del grafico 3.66, e guardare le altre curve: al variare di f varia λ , dunque C/λ .

$R = 1160 \frac{C}{\lambda} \Omega$; ma $C/\lambda = 1$ per ipotesi, $R \approx 1160 \Omega$

(nota critica: se ho vincoli sul guadagno in banda. }
 L elica $\approx 0,8 \lambda_{max}$.

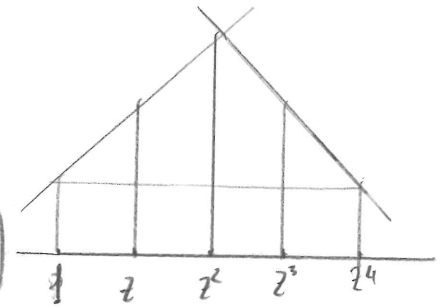
Esempi Schiere

Esempio 1

Dato polinomio:

$$A(z) = 1 + z + z^2, \quad z \in \mathbb{C}_1$$

$$[A(z)]^2 = [1 + z + z^2]^2 = [1 + 2z + 2z^2 + 2z^3 + z^2 + z^4] = (1 + 2z + 3z^2 + 2z^3 + z^4)$$



Esempio 2

Progettare una schiera di radiatori isotropici tale per cui:

- livello del primo lobo secondario = -25dB
- larghezza del 1° lobo 7°
- $\psi_s = 30^\circ$

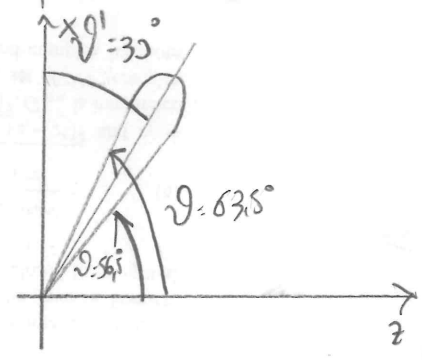
Di sicuro non posso usare una schiera uniforme (lobi troppo alti); con la triangolare SULL -27dB dunque è una soluzione.

Può la binomiale essere una soluzione? Temo di no, ma per la questione degli angoli

uso una triangolo.

Regioni geometricamente sul fascio; ψ_{3dB} è l'angolo duppi: avanti e indietro;

ψ' è l'angolo rispetto alla broadside (ψ_s); ψ alla endfire;



$$\rightarrow -3.5^\circ \text{ L beam } 3dB \text{ L} + 3.5^\circ$$

Ricordando che $\psi = kd \cos \psi + \Phi$ (eq. 6.7), e ricordando che il max. è @ $\psi = \psi_s$, dunque $\psi = 60^\circ$ (ribadisco: ψ è rispetto alla endfire!)

$$\rightarrow kd \cos(60^\circ) + \Phi = 0 \Rightarrow \Phi = -\frac{kd}{2}$$

Sugli altri angoli, ricavati geometricamente,

$$\begin{cases} kd \cos(56.5^\circ) + \Phi = +\psi_{-3dB} \\ kd \cos(63.5^\circ) + \Phi = -\psi_{-3dB} \end{cases} \Rightarrow \begin{cases} 0.5519 kd - 0.5 kd = +\psi_{-3dB} \\ 0.4462 kd - 0.5 kd = -\psi_{-3dB} \end{cases}$$

Sottraggo membro a membro le 2:

$$0.1057 kd = 2 \psi_{-3dB}$$

Ragioniamo alle buone su d_{max} : ho che, per schiere uniformi, dalla eq (6.22), (x12)

$$d = \frac{N-1}{N} \frac{\lambda}{1 + \sin \theta_s} ; \quad N \rightarrow \infty \Rightarrow d = \frac{\lambda}{1 + \sin \theta_s} = 0,667 \lambda$$

prendo margine del 10% (essendo $N \rightarrow \infty$ tendenzialmente falso)

$$\hookrightarrow d = 0,6 \lambda \Rightarrow kd = \frac{2\pi}{\lambda} \times 0,6 \lambda = 3,77$$

$$\hookrightarrow \psi_{-3dB} = 0,199 \Rightarrow 11,42^\circ$$

A partire da ciò, posso usare Fig (6.17), oppure risolvere (mediante calcolatrice):

$$\frac{\sin\left(N \frac{\psi}{2}\right)}{N \sin\left(\frac{\psi}{2}\right)} = -1,5 \text{ dB} ; \quad -1,5 \text{ dB} \rightarrow 10^{-\frac{1,5}{20}} = 0,841$$

$$\hookrightarrow \frac{\sin\left(N \frac{\psi}{2}\right)}{N \sin\left(\frac{\psi}{2}\right)} = 0,841, \quad \psi = 11,42^\circ \Rightarrow \text{mediante grafico, trovo } N = 10$$

Come ho proceduto: fatto plottare alla calcolatrice la funzione, e cercato la x per cui $y = 0,841$.

La schiera generatrice ha 10 elementi; la triangolare a essa associata, ne avrà $2N-1 = 19$.

Osservazioni di verifica finale: prima progetto il "N" della schiera uniforme, poi studio la triangolare associata a essa.

Dalla Fig. (6.17), il 1° lobo secondario per $N=10$ è a $0,22 \approx -26,3 \text{ dB}$: ok!

Ho che:

$N=9 \Rightarrow \frac{N-1}{N} = 0,9$; il margine del 10% prima ipotizzato e usato andava bene!

Abbiamo detto che $kd = 3,77$; dunque: $\Phi = -\frac{kd}{2} \Rightarrow -\frac{180}{\pi} \times 0,5 \times 3,77 = -108^\circ$

$$d = 0,6 \lambda ;$$

Es 3 se vuoi. . .

Determinare il numero di elementi per una schiera di tipo binomiale, senza lobi secondari.

Da appunti Grafico, p. 516, la distanza tra gli elementi è $\lambda/2$; partiamo dunque con

$$d = \lambda/2;$$

In questa condizione,

$$A(z) = 1+z \quad ; \quad dr = \pi, \quad \Phi = \phi \quad \text{Recupero la solita } 6.7 :$$

$$kd \cos \vartheta = \psi \quad \text{voglio (da esercizio) } \vartheta_{-3dB} = 7^\circ \quad (\text{dir. broadside})$$

$$\hookrightarrow \frac{2\pi}{\lambda} \times 0,5\lambda = \pi \Rightarrow \pi \cos \vartheta = \psi \quad \text{ho cho } \vartheta = 90^\circ - \frac{7^\circ}{2} = 86,5^\circ$$

(ϑ rispetto dir. endfire)

$$\hookrightarrow \psi = \pi \cos(86,5) = 0,192 \text{ rad.}$$

Poiché la binomiale ha fattore di schiera del tipo $\cos^M(x)$, il numero di elementi è :

$$\hookrightarrow \left| \cos\left(\frac{\psi_{3dB}}{2}\right) \right|^M = 0,707 \Rightarrow \text{da calcolatrice, } M = 75,13 \Rightarrow 76$$

$$\Rightarrow \text{il numero di elementi è } \lceil M \rceil + 1 = \underline{77}$$

La schiera è lunghissima. A teoria si è visto che, per $d > \lambda/2$, si riduca N , ma si han lobi secondari. Vale la relazione:

$$0,707 = \left[\cos\left(\frac{\pi d}{\lambda} \sin\left(\frac{\vartheta_{-3dB}}{2}\right)\right) \right]^M \quad \text{ma anche } -\frac{S}{20} = M \log_{10} \left| \cos\left(\frac{\pi d}{\lambda}\right) \right|$$

(*)

\uparrow
-3dB

S livello del lobo in dB rispetto al max.

unendo:

$$-\frac{S}{3} = \frac{\log_{10} \left| \cos\left(\frac{\pi d}{\lambda}\right) \right|}{\log_{10} \left| \cos\left(\frac{\pi d}{\lambda} \sin\left(\frac{\vartheta_{-3dB}}{2}\right)\right) \right|}$$

Fissato un ϑ_{-3dB} , scelta S ,
Si trova un $\frac{d}{\lambda}$, o con la precedente (*)
 M .

Si calcolino i coeff. di alimentazione di una schiera di 4 dipoli con $Z_u = Z_p = 75 \Omega$, distanti $0,7 \lambda$.

Dal grafico 6.37 (o, meglio ancora, 3.22 + grande),

$Z_{12} = Z_m = -23 \Omega$, quindi (dalla eq. (6.87))

$\hookrightarrow I_2 = \left(1 - \frac{Z_m}{Z_p}\right) I_1 = 1,31 I_1$

Determinare il numero di elementi isotropici necessario per realizzare una schiera uniforme a irradiazione broadside con larghezza del lobo principale inferiore a 7° , supponendo

$d/\lambda = 0,6$

$\Rightarrow kd \sin(3,5^\circ) = \frac{2\pi}{\lambda} d \sin(3,5^\circ) = 0,23 = 13,2^\circ$
 $= \psi_{3dB}$

Poss:

- Usare i grafici;
- Risolvere:

$\frac{\sqrt{2}}{2} = \frac{\sin\left(N \frac{\psi_{3dB}}{2}\right)}{N \sin\left(\frac{\psi_{3dB}}{2}\right)} \Rightarrow$

da calcolatrice, (o da lettura grafico su calcolatrice)

$N \approx 14$
 $L = 14 \times d = 8,4 \lambda$

Realizzare un'antenna con apertura in azimut di $\pm 40^\circ$, in ϑ da $+70^\circ$ a 90° .

Guadagno non inferiore a 30 dB.

Prima di tutto: si può fare con un solo lobo? Con un'apertura?

$$G \approx \frac{3 \times 10^4}{\vartheta^2 \times \Omega} = 18,75 = 12,73 \text{ dB}$$

Soluzione: uso di una schiera a scansione elettronica.

Schiera a scansione: i vari fasci si posizionano in modo tale che si facciano coincidere gli angoli a -3 dB dei fasci adiacenti; poiché il G non può essere minore di 30 dB

$G_{max} = 33$ dB (in modo che a -3 dB se ne abbiano 30).

Possiamo determinare, supposti $\vartheta = \Omega$, l'angolo a -3 dB del fascio:

$$33 \text{ dB} = 2000 \Rightarrow 2000 \approx \frac{30000}{\vartheta^2} \Rightarrow \vartheta = 3,873^\circ \approx 4^\circ$$

Serve per forza una schiera planare, dal momento che per una schiera lineare, il d. di irradiazione è omnidirezionale su uno dei piani.

Scansione in azimut: $-40^\circ \leq \Omega \leq 40^\circ$.

ho un $\Delta\Omega = 80^\circ$, e un fascio largo $4^\circ \Rightarrow \frac{80^\circ}{4^\circ} = 20$ scatti. I massimi sono da -38° a $+38^\circ$, ogni 4° .

Non essendo vincoli sui lobi, posso usare la schiera uniforme. Per la schiera uniforme (vedi eq. (6.16)), $\vartheta_{-3\text{dB}} \approx 0,88 \frac{\lambda}{Nd} = 0,88 \frac{\lambda}{L}$ L lunghezza della schiera

$$\hookrightarrow L \approx \frac{0,88}{4^\circ \times \frac{\pi}{180^\circ}} \lambda \approx 12,61 \lambda$$

Dato $N \gg L$ (ipotesi semplificativa a priori), applico la eq (6.22):

$d = \frac{N-1}{N} \frac{\lambda}{1 + \sin \vartheta}$ ϑ è rispetto alle broadside, ed è l'angolo del "massimo punto di irradiazione più lontano dal centro": 38° ($0-38^\circ$);

$$\hookrightarrow d = \frac{N-1}{N} \frac{\lambda}{1 + \sin(38^\circ)} = 0,6189 \lambda \frac{N-1}{N} \Rightarrow d \approx 0,6 \lambda \quad (\text{per } N \gg 1)$$

$L = 12,61 \lambda \Rightarrow \frac{L}{d} = N_{\text{elementi}} \approx 21$ elementi (22 per star sicuri); $\left. \begin{array}{l} \text{Usando uno stackatore a} \\ 5 \text{ bit, } 2^5 = 32, 360/32 = \\ 5,625; \text{ moltiplicando } G_0 \\ \text{per opportuni numeri (bit) si} \\ \text{ottenengono gli spostamenti fisici.} \end{array} \right\}$

ho: $0,6189 \times \frac{22-1}{22} = 0,5990$; con 21 elementi, $d = \frac{12,6}{21} = 0,6005 > d_{max}$;

con 22 elementi, $d = \frac{12,61}{22} = 0,573$ e ci sta.

Usando $N=22$, $Kd = \frac{2\pi}{\lambda} \times 0,573 \lambda = 206,3^\circ$. Poiché $\Delta\phi = Kd \sin \vartheta'$, ho:

$$\vartheta' = 2 \rightarrow Kd \sin \vartheta' = 77,2^\circ$$
$$\vartheta' = 2+4=6 \rightarrow Kd \sin \vartheta' = 21,5^\circ$$

Si determinino i fattori di sciorie per una sciorie di Chebyshev di 7 elementi e con livello dei lobi secondari di -20 dB.

Per i -20 dB,

↳ $r = 10^{\frac{20}{20}} = 10$

Dalla eq. (6.100), h_0 :
 $x_0 = \frac{1}{2} \left[\left(r + \sqrt{r^2 - 1} \right)^{\frac{1}{m}} + \left(r - \sqrt{r^2 - 1} \right)^{\frac{1}{m}} \right]$ dove "m" è il numero di elementi, -1: dato $N=7$, $m=N-1=6$

↳ $x_0 = 1,127$

Dal momento che "N" è dispari, devo recuperare la somma relativa a essi.

$A(\gamma) = \sum_{m=0}^{N'} I_m T_{2m} \left(\frac{x}{x_0} \right) = T_{2N'}(x)$ dove $N' = \frac{N-1}{2}$

Svolgendo i conti:

$T_0 = 1$
 $T_2 = 2x^2 - 1$
 $T_4 = 8x^4 - 8x^2 + 1$
 $T_6 = 32x^6 - 48x^4 + 18x^2 - 1$

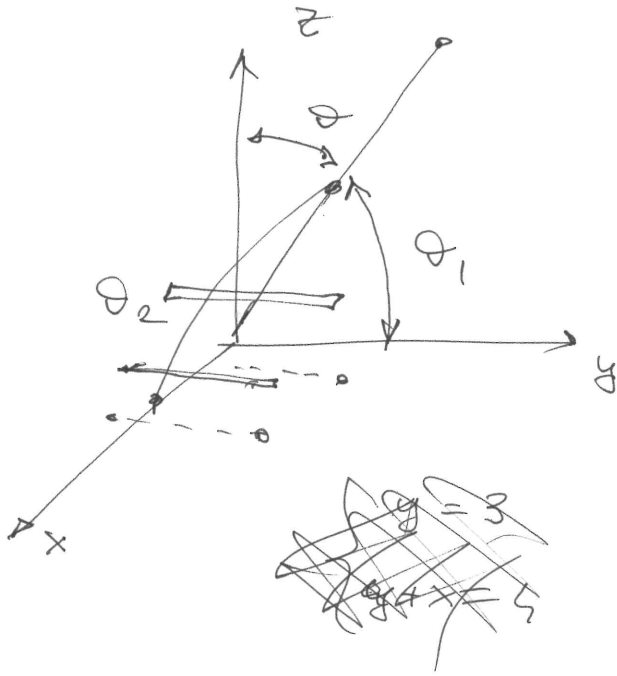
↳ $32x^6 - 48x^4 + 18x^2 - 1 = I_0 + I_1 \left(2 \left| \frac{x}{x_0} \right|^2 - 1 \right) + I_2 \left(8 \left| \frac{x}{x_0} \right|^4 - 8 \left| \frac{x}{x_0} \right|^2 + 1 \right) + I_3 \left(32 \left| \frac{x}{x_0} \right|^6 - 48 \left| \frac{x}{x_0} \right|^4 + 18 \left| \frac{x}{x_0} \right|^2 - 1 \right)$

↳ raccolgo le (x^i) invece che gli I :

$x^6 \left[32 - 32 \left| \frac{1}{x_0} \right|^6 I_3 \right] + x^4 \left[-48 + 8 I_2 \left| \frac{1}{x_0} \right|^4 - 48 I_3 \left| \frac{1}{x_0} \right|^4 \right] + x^2 \left[18 + 2 I_1 \left| \frac{1}{x_0} \right|^2 - 8 I_2 \left| \frac{1}{x_0} \right|^2 + 18 I_3 \left| \frac{1}{x_0} \right|^2 \right] - 1 - I_0 + I_1 - I_2 + I_3 = \phi$

Annulla ciascuna parentesi, per soddisfare l'eq., a partire da quella di I_3 per poi sostituire man mano a quelle dopo in modo da avere sempre per ogni parentesi il sola incognita:

$32 - 32 \left| \frac{1}{x_0} \right|^6 I_3 = \phi \Rightarrow I_3 = x_0^6 \dots$ così via



$$A_1 = \sin \frac{\psi_1}{2} \quad (\text{sch. in } z)$$

$$\psi_1 = \cancel{2kd} \cos \theta$$

$$A_2 = \cos \frac{\psi_2}{2} \quad (\text{sch. in } x)$$

$$\psi_2 = kd \cos \theta_2$$

$$F = \frac{\cos(\frac{\pi}{2} \cos \theta)}{\cos \theta} = \frac{\cos(\frac{\pi}{2} \cos \theta)}{\sin \theta_1}$$

$$\hat{z} \cdot \hat{z} = \cos \theta$$

$$\hat{z} \cdot \hat{x} = \cos \theta_2$$

$$\hat{z} \cdot \hat{y} = \cos \theta_1$$

$$\hat{z} = \cos \theta \hat{z} + \underbrace{\sin \theta \cos \theta_1}_{\cos \theta_2} \hat{x} + \underbrace{\sin \theta \sin \theta_1}_{\cos \theta_1} \hat{y}$$

$$\frac{\sin(kd \cos \theta) \cdot \cos\left(\frac{kd}{2} \sin \theta \cos \theta_1\right) \cdot \cos\left(\frac{\pi}{2} \sin \theta \sin \theta_1\right)}{\sqrt{1 - \sin^2 \theta \sin^2 \theta}}$$

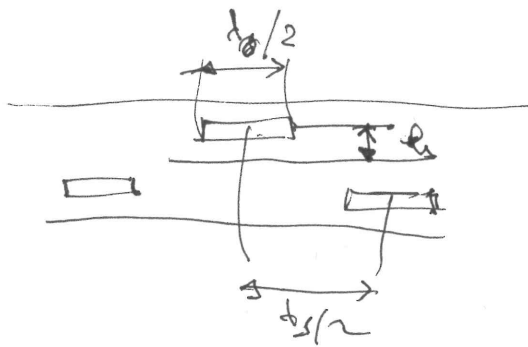
$$\varphi = 0$$

$$\varphi = \frac{\pi}{2}$$

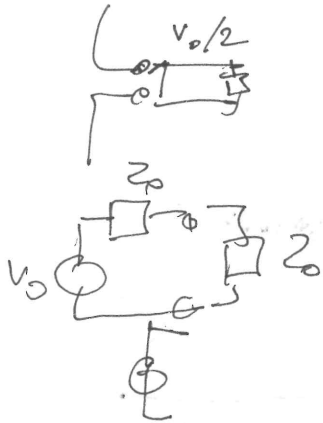
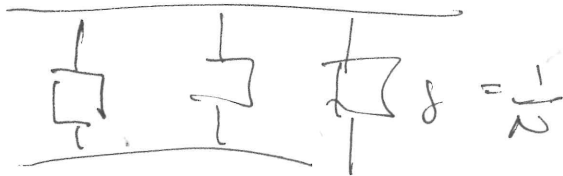
$$\varphi = \frac{\pi}{2} \quad \sin kd \cos \theta \cdot \cos\left(\frac{kd}{2} \sin \theta\right) \cdot \cos\left(\frac{\pi}{2} \sin \theta\right) = 0.4$$

$$\varphi = \frac{\pi}{2} \quad \sin(kd \cos \theta) \cdot \frac{\cos\left(\frac{\pi}{2} \sin \theta\right)}{\cos \theta} = 0.4 \quad \leftarrow$$

$$h = \frac{d}{4}$$

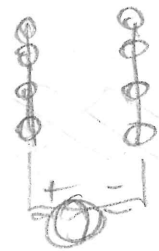


$$g = A \left(\sin \frac{\pi d}{a} \right)^2$$



$$\sin \theta_{3dB} \approx 0.88 \frac{\lambda}{L}$$

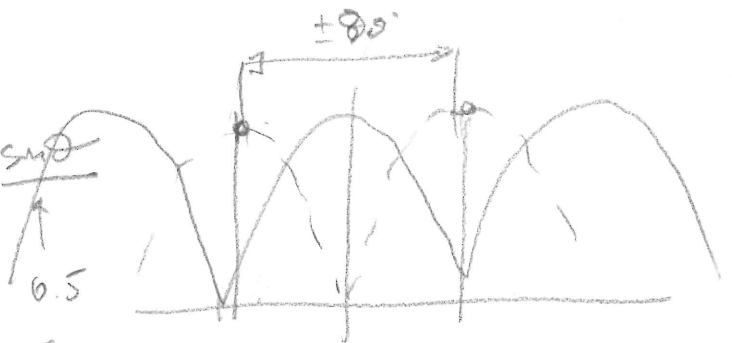
$$\frac{L}{\lambda} = \frac{0.88}{\sin \theta_{3dB}}$$



$$\cos \phi/2$$

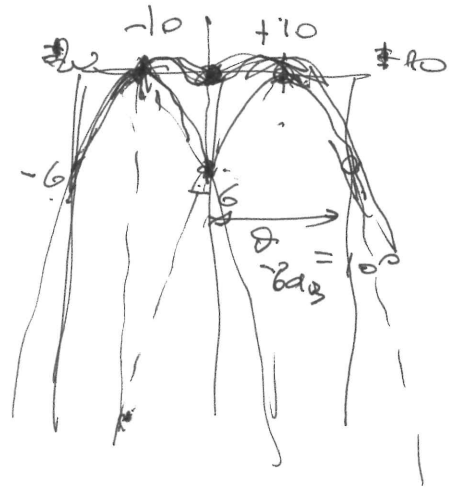
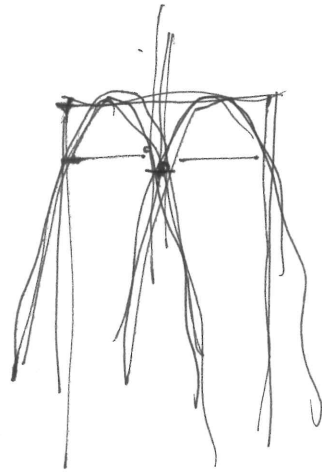
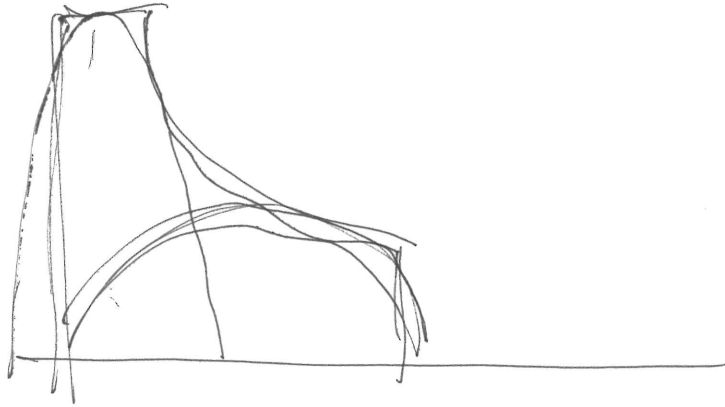
$$\sin \phi/2$$

$$\frac{\phi}{2} = \frac{\pi}{2} = kd \sin \theta$$



$$\frac{kd \sin \theta}{\lambda} \cdot 0.5 = \frac{\pi}{2}$$





Esercizi di Antenne e Propagazione

1) Data apertura con $g(\hat{r}) = g(\vartheta)$ tale per cui:

$$g(\vartheta) = \begin{cases} G_{max} \cos^p(\vartheta) & 0 \leq \vartheta \leq \frac{\pi}{2} \\ 0 & \text{altrove} \end{cases}$$

noti $\eta = 0,9$, $p = \frac{10}{3}$, $v = 0,8$, determinare a $f = 10 \text{ GHz}$ l'area dell'antenna.

Soluzione

È noto che:

$$A_{eq} = \max_{vice} \{ a_{eq}(\hat{r}) \} = v \text{ Area geometrica}$$

e che

$$G_{max} = \frac{4\pi}{\lambda^2} A_{eq} \quad : \quad \text{dobbiamo determinare } G_{max}. \text{ Si può farci:}$$

$$\int_0^{2\pi} d\phi \int_0^{\pi} \sin\vartheta g(\vartheta, \phi) d\vartheta = 4\pi\eta = \int_0^{2\pi} d\phi \int_0^{\frac{\pi}{2}} G_{max} \cos^p\vartheta \sin\vartheta d\vartheta = 4\pi\eta$$

$$\hookrightarrow G = \frac{4\pi\eta}{2\pi \int_0^{\frac{\pi}{2}} \cos^p\vartheta \sin\vartheta d\vartheta} = \frac{4\pi\eta}{\frac{2\pi}{p+1} \left[\cos^{p+1}(\vartheta) \right]_0^{\frac{\pi}{2}}} = \frac{2\eta(p+1)}{0-1}$$

$$= 2\eta(p+1) = 2 \times 0,9 \left(1 + \frac{10}{3} \right) = 2 \times \frac{3}{5} \times \frac{13}{3} = \frac{39}{5}$$

$$\hookrightarrow G_{max} = \frac{4\pi}{\lambda^2} v A_{geom} \rightarrow A_{geom} = 0,698 \text{ mm}$$

Per calcolare v con gli altri dati, invece:

$$G = \frac{4\pi}{\lambda^2} \frac{\left| \int_S \underline{E}(r) ds \right|^2}{\int_S |\underline{E}(r)|^2 ds} \longleftrightarrow v = \frac{l}{A_{geom}} A_{eq}$$

Se si ha un campo del tipo:

$$\underline{E}(r) = \underline{E}_0 \left[(1-t)(1-r^2) + t \right], \quad t \text{ parametro "tapering"}$$

2) Calcolare, data la nota $\underline{E}(r)$, il V per un'apertura circolare di raggio a e per una quadrata di lato a .

(2)

- circolare: devo calcolare i 2 integrali. Prima di tutto:

$$\begin{aligned} \hookrightarrow r = \frac{\rho}{a} &\rightsquigarrow a^2 \int_0^{2\pi} d\varphi \int_0^1 \underline{E}_0 [(1-t)(1-r^2) + t] r dr = 2\pi a^2 \underline{E}_0 \int_0^1 [1 - r^2 - t + t r^2 + t] r dr = \\ &= 2\pi a^2 \underline{E}_0 \int_0^1 [r - r^3 + t r^3] dr = 2\pi a^2 \underline{E}_0 \left[\frac{r^2}{2} - \frac{r^4}{4} + t \frac{r^4}{4} \right]_0^1 = 2\pi a^2 \underline{E}_0 \left[\frac{1}{2} - \frac{1}{4} + \frac{t}{4} \right] = \\ &= \frac{\pi a^2}{2} \underline{E}_0 (t+1) \end{aligned}$$

L'altro:

$$\begin{aligned} \int_0^1 |\underline{E}_0 [(1-t)(1-r^2) + t]|^2 r dr &= |\underline{E}_0|^2 \int_0^1 [(1-t)^2 (1-r^2)^2 + t^2 + 2t(1-t)(1-r^2)] r dr = \\ &= |\underline{E}_0|^2 \int_0^1 [(1+t^2-2t)(1-2r^2+r^4) + t^2 + 2t(1-r^2-t+r^2)] r dr = \\ &= |\underline{E}_0|^2 \int_0^1 [1 - 2r^2 + r^4 + t^2 - 2r^2 t^2 + t^2 r^4 - 2t + 4tr^2 - 2tr^4 + t^2 + 2t - 2tr^2 - 2t^2 + 2t^2 r^2] r dr = \\ &= |\underline{E}_0|^2 \left[\frac{r^2}{2} - 2\frac{r^4}{4} + \frac{r^6}{6} + \frac{t^2 r^2}{2} - 2t^2 \frac{r^4}{4} + t^2 \frac{r^6}{6} - 2t \frac{r^2}{2} + 4t \frac{r^4}{4} - 2t \frac{r^6}{6} + \frac{t^3 r^2}{2} + 2t \frac{r^2}{2} - 2t \frac{r^4}{4} - 2t^2 \frac{r^2}{2} + \right. \\ &+ \left. 2t^2 \frac{r^4}{4} \right]_0^1 = \frac{1}{2} - \frac{1}{2} + \frac{1}{6} + \frac{t^2}{2} - \frac{t^2}{2} + \frac{t^2}{6} - t + t - \frac{t}{3} + \frac{t^2}{2} + t - \frac{t}{2} - \frac{t^2}{2} + \frac{t^2}{2} = \\ &= \left[\frac{t^2}{6} + \frac{t}{6} + \frac{1}{6} \right] |\underline{E}_0|^2 \end{aligned}$$

$$\hookrightarrow 2\pi a^2 |\underline{E}_0|^2 \left[\frac{t^2}{6} + \frac{t}{6} + \frac{1}{6} \right] = \frac{\pi a^2}{3} |\underline{E}_0|^2 [t^2 + t + 1]$$

Dunque:

$$V = \frac{I}{\underbrace{\pi a^2}_{\text{Area}}} \frac{\frac{\pi^2 a^4 |\underline{E}_0|^2}{4} (t+1)^2}{\frac{\pi a^2 |\underline{E}_0|^2}{3} (t^2 + t + 1)} = \frac{3}{4} a^2 \frac{(t+1)^2}{t^2 + t + 1}$$

Si può osservare che:

- per $t=L, v=L$: il campo è infatti uniformemente distribuito;
- per $t=0,8, v \approx 0,996$
- per $t=0,5, v \approx 0,964$;
- per $t \rightarrow 0, v \rightarrow 0,75$

} Come atteso.

Per l'apertura rettangolare, si deve semplicemente fare una separazione delle variabili:

$$E(u,v) = E_x(u) E_y(v)$$

$$\int E(u,v) ds = \int_{-\frac{\pi}{2}}^{\frac{\pi}{2}} E_x(u) du \int_{-\frac{\pi}{2}}^{\frac{\pi}{2}} E_y(v) dv$$

[no Jacobiano: sono in coordinate cartesiane]

A parità di tapering t , la v è leggermente superiore (si può vedere).

Progetto di un'antenna a tromba

Si progettano un'antenna a tromba che:

- lavori alla freq. di centro banda della WR90;
- abbia un d. di irradiazione simmetrico, ϑ_{15dB} uguale nei 2 piani e pari a 30° ;
- il più vicina possibile alla tromba ottimale

Soluzione

WR90: $0,9' \times 0,4'$; $f_{TE10} = \frac{c}{2a} = 6,562 \text{ GHz}$; $f_{TE20} = \frac{c}{a} = 13,12 \text{ GHz}$; $\bar{f} = \frac{f_{TE10} + f_{TE20}}{2} = 9,8 \text{ GHz}$

Proviamo prima a fare la tromba ottimale: ciò significa ridurre la massima deviazione di fase. Da teoria (p. 48), $s = \frac{L}{4}, t = \frac{3}{8}$. Date A e B le dimensioni della bocca,

$$\begin{cases} s = \frac{B^2}{8\lambda L} = \frac{L}{4} \\ t = \frac{A^2}{8\lambda L} = \frac{3}{8} \end{cases}$$

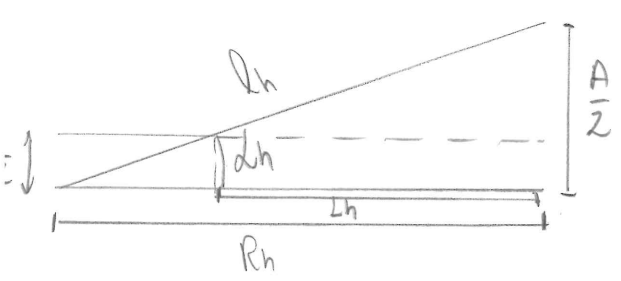
A questo punto, grafici p. 44 per far i conti dei ϑ .

Sul piano E: $(s = \frac{L}{4}) \rightarrow u = 1,75 \rightarrow \frac{B}{\lambda} \sin 30^\circ = 1,75 \rightarrow \frac{B}{\lambda} = 3,5$

Sul piano H: $(t = \frac{3}{8}) \rightarrow v \approx 1,95 \rightarrow \frac{A}{\lambda} \sin 30^\circ = 1,95 \rightarrow \frac{A}{\lambda} = 3,9$

@ 9,8 GHz, $\lambda = \frac{c}{f} = 30,61 \text{ cm}$; $\begin{cases} A = 15,31 \text{ cm} \\ B = 10,77 \text{ cm} \end{cases}$

Dato A e B , si può provare a trovare tutte le dimensioni sul piano H:



Mediante la goniometria:

$$\tan(\delta h) = \frac{A/2}{Rh} = \frac{(A/2) - (a/2)}{Lh}$$

$$\rightarrow Lh = Rh \frac{A/2 - a/2}{A/2}$$

Con gli stessi disegni/ragionamenti nel piano E,

$$\rightarrow Le = Re \frac{B/2 - b/2}{B/2}$$

Il punto di attacco è ovviamente lo stesso: $Le = Lh$!

$$\rightarrow Re \frac{B/2 - b/2}{B/2} = Rh \frac{A/2 - a/2}{A/2} \quad \text{dunque: } \frac{Rh}{Re} = \frac{(B-b)A}{(A-a)B} = 1,12$$

Usando oo Pitagora:

$$Lh^2 = \left(\frac{A}{2}\right)^2 + Rh^2 \quad ; \quad Le^2 = \left(\frac{B}{2}\right)^2 + Re^2$$

Attenzione: siamo partite dall'ipotesi di trombo ottimo; ciò impone un legame tra A e Lh , B e Le . In particolare:

$$A = \sqrt{3\lambda Lh} \quad ; \quad B = \sqrt{2\lambda Le} \quad \text{(nel caso di trombo ottimo).}$$

$$\rightarrow \begin{cases} Lh = \frac{A^2}{3\lambda} \\ Le = \frac{B^2}{2\lambda} \end{cases} \xrightarrow{\text{sostituzione}} \frac{A^4}{9\lambda^2} = \frac{A^2}{4} + Rh^2 \rightarrow Rh = \sqrt{\frac{A^4}{9\lambda^2} - \frac{A^2}{4}} = 14,33 \text{ cm}$$

$$Re = \sqrt{\frac{B^4}{4\lambda^2} - \frac{B^2}{4}} = 17,92 \text{ cm}$$

Allo stesso modo, poi,

Nota: Re e Rh devono soddisfare 2 condizioni: quella dettata dal "Pitagora" (e tutto ciò che ne sta dietro), e questa. Sarà possibile? Beh, abbiamo visto che:

$$\frac{Rh}{Re} = 1,12; \quad \text{ma da queste ultime relazioni, } Rh < Re : \text{ le due condizioni son incompatibili.}$$

Bisogna rinunciare a una delle 2 ipotesi: o alla condizione di trombo ottimo, o all'angolo a -15 dB. Bisogna rinunciare all'ottimo, almeno in uno dei 2 piani, e continuare a imporre la $\frac{Rh}{Re}$.

Ipotesizzo allora che $R_h = R_{hopt}$, e vario l'altro.

$L \rightarrow R_e = \frac{R_{h,opt}}{1,12} = 12,77 \text{ cm}; \quad L = R_h \frac{A^2 - a^2}{A^2} = 11,56 \text{ cm};$

$R_e = \sqrt{\left(\frac{B}{2}\right)^2 + R_e^2} = 13,85 \text{ cm}; \quad \gamma = 0,34.$

Prendendo questo "gamma" calcolato e posteriori, si può dire che nel piano e non siamo più nelle condizioni ottimali. Usando i grafici 2.23 (p. 405), dato $\gamma = 0,34$, si ha circa 2 dB di perdita: rispetto al trombo ottimo, che già ne perde 1 ($\gamma = 0,25$), ne perde solo 1 di dB.

Il problema è che gamma è variato parecchio: in realtà, riprendendo i grafici di prima l'angolo non è più a 15 dB: forse qua si dovrebbe provare fissando $R_e = R_{eopt}$, e da qui poi vedere come l'angolo cambia. Bisogna fare i conti, dunque le verifiche a posteriori.

Progetto di una tromba corrugata

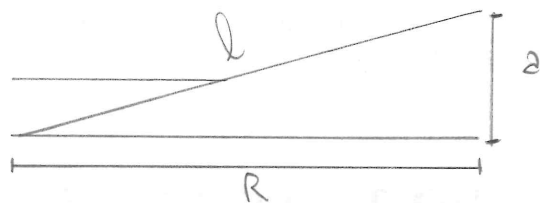
Si progetti una tromba corrugata in banda $f = 10 \text{ GHz}$, $\alpha_{15dB} = 30^\circ$, con modo ibrido bilanciato.

Per la tromba circolare, sappiamo che $u = \frac{2\pi}{\lambda} a \sin \theta$ è raggio.

In questo caso non si ha vincoli sull'angolo di fase, dunque possiamo scegliere noi che fare. Scegliamo di avere una variazione di fase ridotta. Si ha:

$t = \frac{a^2}{2\lambda l}$

errore di fase)



l'errore di fase è simile a prima con $a \rightarrow \frac{A}{2}$.

Questo perché A era il "diametro", dunque ora ho solo $a = \text{raggio}$, e si "ricava" ciò.

partita di "a", aumentando "t" la tromba è più corta.

scelgo -15 dB, sul grafico 2.39 (p. 66), posso prendere $t = 0,125$ o $t = 0,25$. Per accorciare la tromba, $t = 0,25$, trovo "u" e dunque a. Vedo che $u \approx 4,7$ ($t = 0,25$).

noi preme sapere che errore di fase si introduce: 2.40 dà l'errore di fase per la tromba, e per diversi valori di a/R

l'unica curva per cui si ha u, è quella per $a/R = 0,224$. Su 2.40 si vede il massimo valore dell'errore di fase che si può avere. Questo grafico (2.40) si legge così: si introduce "u", e quello è il massimo punto di variazione: per $u = 4,3$, la fase può variare da $\approx -4^\circ$ (il minimo) a $\approx 2^\circ$; altrimenti, da $\approx -4^\circ$ a $\approx +10^\circ$, dunque, con u maggiore, ho maggiore erro.

In pratica, visto che abbiamo solo questo curve, forziamo d/L ($2/R$) a $0,224$, l'unico che c'è. Per la fase converrebbe avere il $4/3$, ossia il valore con $t = 0,125$ (basta leggere dal grafico 2.30).

Come detto, scelto "u" (per esempio per minimizzare l'onore di fase) posso calcolare e, e così via: dato a conosco $R(\frac{2}{0,224} = R)$, Pitagore e trovo l.

Bisogna poi progettare la corrugazione:

- il solco più grande deve essere $\lambda/2$, per $\lambda = \lambda_{max}$ ($f = f_{min}$);
- il solco più piccolo, $\lambda/4$ per $\lambda = \lambda_{min}$ ($f = f_{max}$);
- poi si le a scalare gradualmente.

Lo spessore dei dentini dovrà essere molto piccolo (vedi progetto su appunti): dell'ordine di $\lambda/10$.

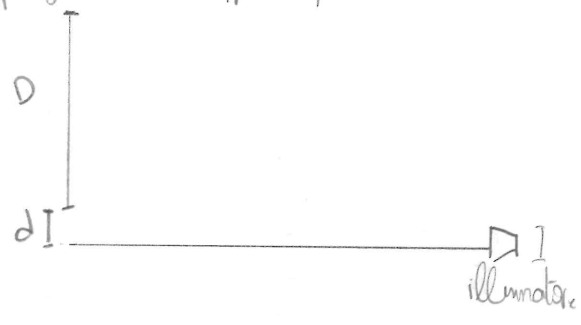
Zenni di calcolo paraboloidi offset

Detta "l" la distanza focale f: $f = l$

si può scegliere di solito $d = 0,1 D$;

se $D = f$,

$$g = 2f \tan\left(\frac{\theta}{2}\right)$$
 (per ogni θ);



$$\rightarrow \theta_{min} = 2 \arctan\left(\frac{d}{2f}\right); \theta_{max} = 2 \arctan\left(\frac{D+d}{2f}\right); \theta_0 = 2 \arctan\left(\frac{d + \frac{D}{2}}{2f}\right)$$

Complete

Esempio di progetto di un iperboloido

Si consideri dato f/D del riflettore principale, e θ_f (semiangolo di apertura del feed).

Prima di tutto si deve fissare un grado di libertà; o $\frac{f}{D}$ (già noto, dato dal problema), o $\frac{d}{D}$ (rapporto per la determinazione del bloccaggio).

Fisso $d = 0,12 D$.

Si ha a questo punto da usare questa eq. di progetto:

$\frac{d}{D} \frac{f}{2c} \frac{\tan(\theta_f) \tan(\theta_m)}{2 \tan(\frac{\theta_m}{2}) (\tan \theta_f + \tan \theta_m)}$ o, in alternativa, le curve 2.90 (p. 138 appunti).

Questo serve per determinare il profilo dell'iperboloido. Ci interessa l' eccentricità e, questa equazione: θ_f e θ_m si possono trovare. Si sa che:

$$M = \frac{\tan \frac{\theta_m}{2}}{\tan \frac{\theta_f}{2}}$$

Usando la 2.90, funzioni di θ_f o θ_m , possiamo determinare il "M".

Esempio: iperboloido con 70° di semiangolo di apertura, feed con $\theta_f = 25^\circ$.

La curva tratteggiata è il fattore di ingrandimento. Se no: prendo M come rapporto delle tangenti, e poi:

$$e = \frac{M+1}{M-1}$$

La curva continua della 2.90 è " $\frac{d}{D} \frac{f}{2c}$ " (si può vedere, nel nostro esempio numero, che vale circa 0,3).

$$\hookrightarrow \frac{d}{D} \cdot \frac{f}{2c} = 0,3 \rightarrow 2c = \frac{f}{3} \rightarrow c = \frac{f}{6}$$

Dalla definizione di e, $e = \frac{c}{a} \Rightarrow a = \frac{c}{e}$ e il problema è risolto.

Può aver senso calcolare lo spessore dell'iperboloido: lo spessore tra il piano tangente al vertice e quello tangente al bordo. Ciò si fa ricordando che $v = a + c$

Progetto: progettare un dipolo a 300 MHz, banda $\in [280; 320]$ MHz, con $|\Gamma| < 0,2$, $Z_{0d} = 70 \Omega$; determinare snellezza e lunghezza.

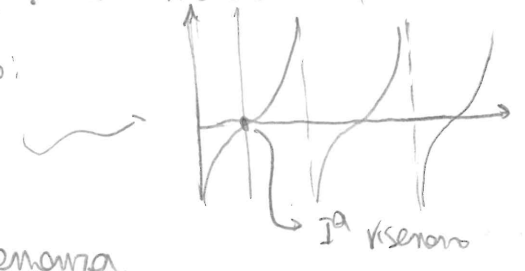
Si è detto dalla Teoria che nell'intorno della risonanza,

$$|\Gamma| \approx \frac{|x|}{2}$$

Prima di tutto, sulla banda si deve chiedere che, in banda, $|\Gamma| < 0,2$; dunque,

$|x| < 0,4$ in banda. Come noto:

$$X \approx -Z_{0d} \cot\left(\frac{2\pi l}{\lambda} f\right)$$



Se la valuto alla 1^a risonanza,

$$-Z_{0d} \cot\left(\frac{2\pi l}{\lambda} f\right) \Big|_{f=f_0+\Delta f} \approx Z_{0d} \tan\left(\frac{2\pi l}{\lambda} \Delta f\right) \rightsquigarrow \text{rispetto a } f_0.$$

per $\Delta f \rightarrow \phi_1$

$$\hookrightarrow \approx Z_{0d} \frac{2\pi l}{\lambda} \Delta f$$

Ma abbiamo X; abbiamo informazioni su x; la "x" è normalizzata rispetto nei a Z_{0d} , ma Z_{0d} : l'imp. caratteristica della linea di trasmissione. Dunque:

$$x = \frac{X}{Z_{0d}} = \frac{Z_{0d}}{Z_{0d}} \frac{2\pi l}{\lambda} \Delta f$$

Il dipolo è $\lambda/4$, dunque $l = \lambda_0/4$; $\lambda_0 = \frac{v_{\text{eff}}}{f_0} \rightsquigarrow \frac{2\pi l}{\lambda} = \frac{\pi}{2} \frac{l}{\lambda_0}$

$$\hookrightarrow x = \frac{Z_{0d}}{Z_{0d}} \frac{\pi}{2} \frac{\Delta f}{f_0} \quad \text{ma, } x = 2 \Gamma_{\text{max}}$$

dove Δf è la semibanda, Z_{0d} il valore dell'imp. caratteristica di antenna.

$$\hookrightarrow \frac{70 \Omega}{70 \Omega} = \frac{4 \times 0,2 \times 300 \text{ MHz}}{\pi \times 300 \text{ MHz}} \approx 267 \Omega$$

Sappiamo che:

$$Z_{0d} = \left[\ln\left(\frac{2l}{a}\right) - 1 \right] \frac{Z_0}{2\pi} \rightarrow \frac{2l}{a} = \exp\left(\frac{Z_{0d}}{\frac{Z_0}{2\pi}} + 1\right) \quad (\text{vedi formula per il } \ln)$$

$$\hookrightarrow \frac{2l}{a} = 25,23 \rightsquigarrow \text{questa è la snellezza.}$$

(con banda del circa 10%).

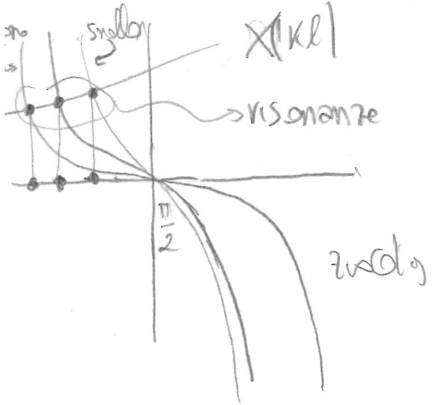
Determino a questo punto esattamente la lunghezza del dipolo: essa è circa $\lambda/2$, ma in realtà un po' meno.

A $\lambda/2$, si ha che $Z = (73 + j42) \Omega$ (numero magico) \downarrow : a $\lambda/2$, si è già oltre la condizione di risonanza: rispetto all'ideale si deve aggiungere un termine correttivo che tenga conto della sintonia non ∞ . Si deve aggiungere un termine correttivo:

$$Z = R(\lambda l) - j \left(Z_{00} \cot(\lambda l) - X(\lambda l) \right)$$

\downarrow Tabulata da grafici
 Termine principale
 \rightarrow termine correttivo.

Per aver la risonanza, si deve far in modo che $Z_{00} \cot(\lambda l)$ compensi X .



La freq. di risonanza dipende dalla sintonia. Il dipolo sintono ha una risonanza molto più vicina a quella teorica, di un dipolo torto. X è tale da compensare.

Noi abbiamo Z_{00} ; facciamo conti: una tabella: quando $X = Z_{00} \cot(\lambda l)$, è fatta.

$\frac{\Delta l}{\lambda_0}$	$Z_{00} \tan\left(\frac{\pi}{2} \frac{\Delta l}{\lambda_0}\right) \approx Z_{00} \frac{\pi}{2} \frac{\Delta l}{\lambda_0}$	$X(\lambda l) \rightarrow \lambda l = \frac{2\pi l}{\lambda} \frac{\lambda_0}{2} \frac{\pi}{2}$ (invece che in f esplicito in l , rispetto a λ_0 .) (da grafici)
0	0	0
0,1	41,94	32
0,07	29,36	33
0,08	33,55	$\approx 33,11,641$

\rightarrow va bene!

$Z_{00} = 267 \Omega$
 Per leggere dallo X , devo togliere $\approx \frac{\pi}{2}$ il 10% (0,1 = 10% della lunghezza, $\frac{\pi}{2}$ la lung. nominale); $0,9 \times \frac{\pi}{2} \approx 1,414$, leggo 1,641 sul grafico "X" (3,9) e trovo (32).

a lunghezza di risonanza è 992 di $\lambda/4$: 46 cm = $\lambda/2$ reale.

$2 \approx 4 \text{ cm}$ (con $\frac{2l}{\lambda} \approx 25$)

Progetto di antenna a elica in modo "normale" - esempio di "analisi"

Dati: $h = 1 \text{ mm}$; $d = 1 \text{ mm}$; $\lambda = 12 \text{ cm}$ (120 mm)

Si definisce N come $N \triangleq \frac{L}{h}$; (numero di spire per millimetro)

$L \rightarrow N = L$

dato α (tutto in mm, tanto fa come il conto che stiamo per fare si semplifica):

$L \rightarrow \frac{ND^2}{\lambda} = \frac{Nd^2}{\lambda} = 0,00833$; sostituisco α nel grafico di "M", 3.53 pagine 254, e ottengo:

$\xrightarrow{\text{dal grafico}} M = 0,03$. (questa α dal grafico).

Si usa poi una formula per determinare v_f funzione di M e del diametro. la velocità di propagazione lungo l'asse è quella lungo \hat{z} .

sul grafico v_w è la velocità lungo la spira (l'intero avvolgimento!). È approssimato.

La formula che ci interessa è:

$\left(\frac{c}{v_z}\right)^2 = 1 + \left(\frac{M\lambda}{\pi D}\right)^2$ c/v_z è il rapporto tra "c" (velocità della luce) e la velocità della luce; questo è anche il rapporto tra un dipolo $\lambda/4$ e un'elica a esso "equivalente".

$L \rightarrow 1 + \left(\frac{0,03 \times 120}{\pi \times 1}\right)^2 = 1 + 1,313 = 2,313$

Si ha un accorciamento della λ equivalente, dunque della antenna.

Ci va a scapito della larghezza di banda e dell'efficienza: η elevata, buone prestazioni.

Progetto dimensioni antenna a elica - modo normale

Quello che si deve per esempio fare è usare gli stessi grafici, invertiti; l'idea è determinare il valore di M che ci dia una certa $\frac{C}{D_2}$.

Si fissa per esempio $d = \lambda/100$, $\lambda/50$, e da lì il passo dunque M .

Si ipotizzi per esempio di voler ridurre di 3 volte la lunghezza dell'antenna:

$$\frac{D_2}{C} = \frac{L}{3}$$

$$\hookrightarrow \left(\frac{C}{D_2}\right)^2 = 1 + \left(\frac{M\lambda}{\pi D}\right)^2 \rightarrow 3^2 = 1 + \left(\frac{M\lambda}{\pi D}\right)^2 \rightarrow \left(\frac{M\lambda}{\pi D}\right)^2 = 8$$

Se fissa $D = \lambda/50$, trovo:

$$\hookrightarrow \left(\frac{M \times 50}{\pi \times 50}\right)^2 = 8 \rightarrow M \approx \frac{\pi}{50} \sqrt{8} \approx 0.177$$

Da M posso determinare il probetto (grafico 3.53 p. 254) come:

$$\frac{ND^2}{\lambda} \approx 0.035$$

Da qui è tutto noto, tranne $N = \frac{L}{h}$

$$\hookrightarrow \frac{\lambda}{h} \frac{D^2}{\lambda^2} = 0.035 \rightarrow \frac{\lambda}{h} = 0.035 \times 50^2 = 87.5$$

$$\hookrightarrow \frac{h}{\lambda} = 0.01143$$

progetto ultimato.

Progetto di un'antenna log-periodica

Si progetti una antenna log-periodica con $G = 10 \text{ dB}$, $f \in [300 \div 1000] \text{ MHz}$,
 $Z_i = 50 \Omega$

Procedimento

Dal grafico a sinistra 3.46 p. 247, per avere $G = 10 \text{ dB}$, si vede che

$$\beta = 0,95, \text{ con } 2\alpha \approx 24^\circ : \alpha \approx 12^\circ.$$

Faccendo $\frac{c}{f}$ \rightsquigarrow $\begin{cases} \lambda_{\min} = 30 \text{ cm}; \\ \lambda_{\max} = 1 \text{ m} \end{cases}$

Da qui, si può immediatamente calcolare l_{\max} (nota: l è la semilunghezza del dipolo: 1 solo braccio!) come $\frac{\lambda_{\max}}{4}$:

$$l_{\max} = 25 \text{ cm}$$

Per l_{\min} , non è $\frac{\lambda_{\min}}{4}$ (vedi teoria), ma si deve ancora dividere per il fattore di banda ottiva B , B si può determinare, a partire da α , col grafico 3.47 p. 248.

$$\begin{cases} \alpha = 12^\circ \\ \beta = 0,95 \end{cases} \rightarrow B \approx 1,2$$

$$\rightarrow l_{\min} = \frac{\lambda_{\min}}{4} \times \frac{1}{B} = 6,25 \text{ cm}$$

A questo punto si può determinare il numero di dipoli N :

$$l_{\min} = l_{\max} \beta^{N-1} \rightsquigarrow N = 1 + \log_{\beta} \left(\frac{l_{\min}}{l_{\max}} \right) = 1 + \frac{\log_{10} \left(\frac{l_{\min}}{l_{\max}} \right)}{\log_{10} (\beta)} = 28.$$

Ci saranno 28 elementi. Numerando da 0 a 27, ciascun i -esimo elemento ha lunghezza pari a:

$$l_i = l_0 \beta^i, \quad l_0 = 25 \text{ cm}.$$

Bisogna discutere del diametro di ciascun filo: si deve scegliere (in modo "quasi arbitrario", ma in modo che la snellezza sia sempre "circa costante", e che comunque i diametri minimo e massimo siano ragionevoli). Per esempio, $d_{\max} = 10 \text{ mm}$, dunque $d_{\min} = 10 \text{ mm} \times 0,95^{27} \approx 2,5 \text{ mm}$ è ragionevole.

Si noti che per i diametri spesso si arrotonda all'intero inferiore o superiore:

8,4 mm di diametro per esempio difficilmente è realizzabile. Si può produrre una

tabella del tipo:

N	l (cm)	d (mm)
0	25	10 (imposto)
1	23,75	9,5
⋮	⋮	⋮
27	5,0	2,5

questi sono i vari valori dei sinistri dipoli.

Bisogna a questo punto progettare la linea di alimentazione, in modo da vedere $Z_i = 50 \Omega$.

Per fare ciò, si usa il grafico 3.49 p 250. per usarlo però è necessario capire quali sono i dati.

- Z_a è l'impedenza di antenna; quella che si determina con il logaritmo. In questo caso, come vedremo, si usa una definizione un po' alternativa.
- R_0 è la Z_i : quella che vogliamo all'ingresso.
- Z_0 è l'impedenza di riferimento della bifilare, incognita.

Partiamo da σ :

$$\sigma = \frac{l}{4} (1 - \beta) \cotg(\beta l) = 0,0588l; \quad \sigma' \triangleq \frac{\sigma}{\sqrt{\epsilon}} \approx 0,06.$$

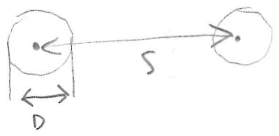
Per la log-periodica, si usa: $Z_a = 120 \left[\ln\left(\frac{l}{a}\right) - 2,25 \right]$ } dove "a" è il raggio
del 1° bipolo.

In questo caso, per il 1°: $120 \times \left[\ln\left(\frac{250}{5}\right) - 2,25 \right] = 199,4$

$\hookrightarrow \frac{Z_a}{R_0} = 3,989; \rightarrow$ [dal grafico 3.49] $\rightarrow \frac{R_0}{Z_0} = 0,61 \rightarrow Z_0 = 82 \Omega$.

Per progettare la bifilare si usa la seguente formula: $(Z_0 \cdot (120^n) / \Omega)$

$$Z_{fb} = \frac{Z_0}{\pi} \cosh^{-1} \left(\frac{s}{D} \right)$$



man mano che si carica la bifilare, con i vari bipoli, l'imp. caratteristica diminuisce. Si parte dagli 80Ω e si arriva a circa 50, con i vari dipoli.

imp car. bifilare (82Ω)

$\hookrightarrow \frac{s}{D} = \cosh \left(\frac{Z_{fb}}{120} \right) = \cosh \left(\frac{82}{120} \right) = 1,263$

Quelli "s" e "D" prendo? A buon senso se il diametro varia da 10 mm a 3 mm, la bifilare potrebbe avere lo stesso diametro, o poco più grande, della bifilare; 10 mm o un po' più in basso.

Progetto di un'antenna a parabola

Progettare un riflettore parabolico con $G = 40 \text{ dB}$, $SH = -28 \text{ dB}$ (livello dei lobi secondari), $f = 12.5 \text{ GHz}$, con un illuminatore a tromba rettangolare con $a = 1.2 \lambda$, b tale per cui l'angolo a -3 dB nei due piani sia uguale ($\vartheta_{-3\text{dB}E} = \vartheta_{-3\text{dB}H}$).
 Si chiede che $L = 2\lambda$, e che l'apertura dell'illuminatore sia maggiore o uguale dell'angolo a -10 dB . ($\vartheta_M \geq \vartheta_{-10\text{dB}}$).

Soluzione

Si parte dal trombino; per avere i lobi uguali a -3dB , dalla teoria, si sa che:

$$\frac{a}{b} = \frac{4}{3} \rightarrow b = \frac{3}{4} a = 0.9\lambda$$

A questo punto, data questa condizione, si deve calcolare l'errore di fase per vedere se bisogna tenerlo in conto. Come noto dalla teoria:

$$s = \frac{b^2}{8\lambda l_e} \quad t = \frac{a^2}{8\lambda l_h} \quad \text{dove, al solito,}$$

$$l_e = \sqrt{\left(\frac{b}{2}\right)^2 + L^2} \quad ; \quad l_h = \sqrt{\left(\frac{a}{2}\right)^2 + L^2}$$

$$= 2.05 \lambda \quad ; \quad = 2.088 \lambda$$

$$\rightarrow \begin{cases} s = 0.04939 \\ t = 0.086 \end{cases}$$

Queste variazioni di fase sono molto piccole: l'errore di fase, fino a circa $\frac{1}{8}$ (0.125), non è mai tabulato: è trascurabile.

Sul piano E:

$$u_{-10\text{dB}} = \frac{b}{\lambda} \sin \vartheta_{-10\text{dB}}$$

da grafico "sopra" dei 2.10 p. 44:

$$u_{-10\text{dB}} = 0.75$$

@ $s=0$

$$\rightarrow \vartheta_{-10\text{dB}E} = \arcsin\left(\frac{u_{-10\text{dB}E}}{\frac{b}{\lambda}}\right) = 56.44^\circ$$

Sul piano H:

$$v_{-10\text{dB}} = \frac{a}{\lambda} \sin \vartheta_{-10\text{dB}}$$

da grafico "sotto" dei 2.10 p. 44,

$$\rightarrow v_{-10\text{dB}} \approx 1$$

$$\rightarrow \vartheta_{-10\text{dB}H} = \arcsin\left(\frac{v_{-10\text{dB}}}{\frac{a}{\lambda}}\right) \approx 56.44^\circ$$

Dei due angoli si dovrebbe prendere quello più critico,

In questo caso essi sono uguali.

Dobbiamo ora scegliere ϑ_M : per iniziare, un primo tentativo può essere $\vartheta_M = \vartheta_{\text{LOB}}$:

questo potrebbe andar bene, ma bisogna considerare la specifica sui SH.

$\vartheta_M = 56,4^\circ$: e partire da ciò, f/D è:

$$\frac{f}{D} = \frac{1}{4} \cotg\left(\frac{\vartheta_M}{2}\right) = 0,47$$

Dobbiamo calcolare l'efficienza di apertura ν , ma prima verificare il livello dei lobi secondari; per far ciò è necessario usare il grafico 2.59 p. 104, che richiede il taper "t" ai bordi. I "bordi" sono per $\vartheta = \vartheta_M$, dunque:

$$t = \frac{E(\vartheta_M)}{E(\vartheta)} \Big|_{\text{dB}} = \Delta_{\text{spaziato}} + \Delta_{\text{feed}} \quad \text{dove} \quad \Delta_{\text{feed}} \approx 10 \left(\frac{\vartheta_M}{\vartheta_{\text{LOB}}}\right)^2 \quad (\text{dB})$$

$$\Delta_{\text{spaziato}} \approx 40 \log \sec\left(\frac{\vartheta_M}{2}\right)$$

Per questo caso, dunque,

$$\left. \begin{array}{l} \Delta_s = -2,195 \text{ dB} \\ \Delta_f = -10 \text{ dB} \end{array} \right\} \rightarrow t = -12,19 \text{ dB}$$

Come si può vedere da 2.59, non basta. Bisogna allargare ϑ_M .

$$\rightarrow \vartheta_M = 62^\circ : \rightarrow \left\{ \begin{array}{l} \Delta_f = -12,07 \text{ dB} \\ \Delta_s = -2,67 \text{ dB} \end{array} \right. \rightarrow t = -14,74 \text{ dB}$$

i lobi che, con questo ϑ_M , ora:

$$\frac{f}{D} = \frac{1}{4} \cotg\left(\frac{62^\circ}{2}\right) = 0,416 \quad : \text{ è variato } \frac{f}{D}$$

Dal grafico 2.58 p 100, si può vedere che $\nu \approx 0,78$

A partire ora da $G_{\text{max}} = 40 \text{ dB}$, sapendo che:

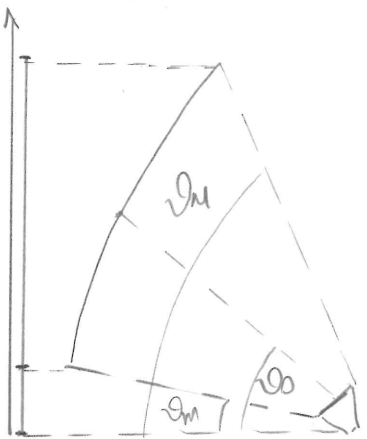
$$G_{\text{max}} = \frac{4\pi}{\lambda^2} A_{\text{geom}} \nu, \quad A_{\text{geom}} = \pi \left(\frac{D}{2}\right)^2, \quad D = \sqrt{G \frac{\lambda^2}{\pi^2} \frac{1}{\nu}} \quad \left\{ \begin{array}{l} \lambda = \frac{c}{f} = 24 \text{ mm} \\ D = 86,5 \text{ cm} \end{array} \right.$$

$f = 36 \text{ cm}$; si può infine calcolare la profondità della parabola, come:

$$\frac{f}{D} = \frac{1}{4} \tan\left(\frac{\vartheta_M}{2}\right)$$

Paraboloido off-set

Dati $\frac{f}{D} = 1$, $\epsilon = D \ll D$, si richiede di calcolare il taper ai bordi e rispetto alla direzione di massima irradiazione (che va determinata).



Come noto, vale la formula:

$$r = 2f \tan\left(\frac{\theta}{2}\right)$$

dove "r" è il punto considerato delle proiezioni del paraboloido su un asse verticale.

Da qui, si possono ricavare i 3 angoli:

$$\theta_m: \epsilon = 2f \tan\left(\frac{\theta_m}{2}\right) \rightarrow \theta_m = 5,7^\circ$$

$$\theta_H: \epsilon + D = 2f \tan\left(\frac{\theta_H}{2}\right) \rightarrow \theta_H = 57,62^\circ$$

L'angolo θ_0 di massima irradiazione è quello tale per cui:

$$\theta_0: \epsilon + \frac{D}{2} = 2f \tan\left(\frac{\theta_0}{2}\right) \rightarrow \theta_0 = 33,4^\circ$$

Dobbiamo calcolare il taper, e per far ciò servono d_s o d_f . Una nota, rispetto al paraboloido simmetrico:

- si ipotizza, visto che non si ha altro che $\theta_{\text{lobs}} = \theta_m$;
- se si valuta rispetto alla direzione di massima irradiazione, la formula che si userà per i vari θ , dunque, sarà, per il paraboloido off-set:

$$d_f = 10 \left(\frac{\theta - \theta_0}{\theta_{\text{lobs}} - \theta_0} \right)^2$$

d_s si valuta, al solito, rispetto al fuoco.

- si calcolano i taper, e si fa in modo che quello per θ_0 sia nullo: $t_{\text{norm}} = t - t_{\theta_0}$ (es: $2,295 + 10 - 0,75$)

Calcoliamo tutto nella tabella seguente:

θ	d_s d_s	d_f d_s	t d_s	t normalizzato a θ_0 d_s
θ_0	0,748	0	0,748	0
θ_m	2,295	10	12,95	11,55
θ_m	0,0215	13,08	13,1	12,35

Esempio - schiere a scansione elettronica

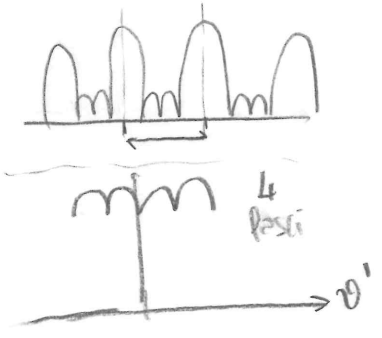
Schiere a 2 bit: 4 elementi, a 2 bit

Se $\Phi = 180^\circ$, la schiera non ha scansione corretta! Si avrà sempre un grating lobe, poiché il fattore di schiera è: due lobi, un lobo principale, o così via, periodicamente.

Se $\Phi = \pi$, si ha sempre "due semi-lobi" primari.

Idea: invece che partire da 0° o -180° , "parto" da -135° ; modo, come spostamenti arro, ogni 90° di salto, -135° , -45° , $+45^\circ$, $+135^\circ$. Sappiamo che $-kd + \Phi \leq \psi \leq kd + \Phi$.

(Φ è lo spostamento progressivo degli elementi in questo modo) Volendo $\psi = 45^\circ$ (angolo massimo di scansione)



$kd \sin \psi + \Phi$: $kd \sin 45^\circ = -\Phi \rightarrow \frac{2\pi}{\lambda} d \sin(\psi) = -\Phi = -\left| \frac{3}{4} \pi \right|$

ψ è la massima scansione, Φ il massimo spostamento.

In questo modo (chiedendo $\sin 45^\circ$) imponiamo che l'ultimo elemento sia $+45^\circ$. Φ è il massimo spostamento che si può fare; da -45° e $+45^\circ$ ci si sposta di 135° con quei lobi.

$\frac{d}{\lambda} = \frac{3}{8} \frac{1}{\sin(\psi)} = \frac{3}{8} \frac{1}{\sin(45^\circ)} = 0,53$

Abbiamo grating lobes? Dobbiamo verificare:

$\frac{d}{\lambda} \leq \frac{N-1}{N} \frac{1}{1-\sin(45^\circ)} = 0,43 \rightarrow$ no!

Volendo fissare N , l'unica cosa che si può cambiare è ψ , ossia l'angolo massimo di scansione. Si può cercare qual ψ per cui queste relazioni sian entrambe soddisfatte.

Riassumo l'esempio:

- 1) Si osservano i dati
- 2) Si capisce che $\Phi = 180^\circ$ non è valida a causa della carattere dei grating lobes;
- 3) Si decide il minimo/massimo spostamento Φ e da esso, noto ψ , si calcola d
- 4) Se $d \leq d_{max}$, fine; altrimenti, si cambia uno spallato (Φ o ψ).

Progetto di massima di schiera planare - circolare

Dato $G = 40 \text{ dB}$, volendo un'apertura a fascio simmetrica,

$$\theta_{3\text{dB}}^2 = \frac{3E4}{G} = \frac{3E4}{10^4} = 3 \Rightarrow \theta_{3\text{dB}} \approx 1.7^\circ$$

(approssimando una schiera con tanti elementi a un'apertura).

Per l'apertura circolare,

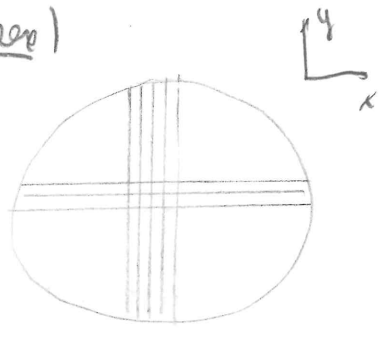
$$\theta_{3\text{dB}} \approx \frac{60 \lambda}{D} \quad D \text{ diametro, } \theta \text{ in gradi}$$

$$\text{dunque: } \frac{D}{\lambda} = \frac{60}{1.7} \approx 35$$

Data apertura di 35λ , quanti elementi dovremmo mettere?

Dipende: se la schiera è broadside, 35λ bastano poco più di 35 elementi; volendo però fare una scansione fino a 45° , si può ipotizzare (per schiera lineare)

$$\frac{d_{\text{max}}}{\lambda} = \frac{N-1}{N} \frac{1}{1+|\sin 45^\circ|} = \frac{N-1}{N} \frac{1}{1+\frac{\sqrt{2}}{2}} \approx 0,5 \quad \left(\frac{N-1}{N} \approx 1 \right)$$



Se $d/\lambda = 0,55$, si può fare un reticolo rettangolare: una schiera circolare con reticolo rettangolare.

Ragionare in termini esatti non è semplice; possiamo ragionare in termini di aree, vedendo che un elemento deve occupare:

$$\left. \begin{aligned} (0,55\lambda)^2 &= 0,3\lambda^2 \\ \text{L'area del cerchio è:} \\ \pi \left(\frac{D}{2}\right)^2 &= \pi \left(\frac{35\lambda}{2}\right)^2 = 962\lambda^2 \end{aligned} \right\} \Rightarrow \frac{962\lambda^2}{0,3\lambda^2} = \underline{\underline{3200}} \text{ elementi.}$$

Nota: $N = 2^B$; N è il numero di elementi, ma in una direzione!

$$N_x = \frac{35}{0,55} \approx 64$$

$$\text{Ri-approssimo: se us } N_x = 64, \text{ d'è: } d = \frac{35}{64} = 0,547$$

Questo è minore di 0,55 che era già ok!

Con 6 bit si riescono a fare ste cose.